

河床演变与模拟文集

乐培九 著



河床演变与模拟文集

乐培九 著



天津科学技术出版社

图书在版编目(CIP)数据

河床演变与模拟文集/乐培九著.一天津:天津科学技术出版社,2001.10

ISBN 7-5308-3138-0

I. 河... II. 乐... III. 河道演变—水工模拟—
文集 IV. TV147-53

中国版本图书馆 CIP 数据核字(2001)第 055852 号

责任编辑 刘万年

版式设计 雉桂芬

责任印制 张军利

天津科学技术出版社出版

出版人:王树泽

天津市张自忠路 189 号 邮编 300020 电话:(022)27306314

天津新华印刷二厂印刷

新华书店天津发行所发行

*

开本 787×1092 1/16 印张 17.25 字数 422 000

2001 年 10 月第 1 版

2001 年 10 月第 1 次印刷

定价:30.00 元

序

河床演变是水流、泥沙和边界相互作用的综合反映。先人在长期的治黄实践中不断认识到：“黄河之性，急则通流，缓则淤淀”；“水射北则滩在南，射南则滩在北”；“筑堤束水，以水攻沙，水不奔溢于两旁，则必直趋于河底”。这些精辟之见，道出了水流、泥沙和边界三者的辩证统一关系，具有深刻的科学内涵。正确掌握三者相互依存，相互制约的辩证关系，因势利导，才可变水害为水利，造福于人类。

河床演变的模拟是人类认识自然和改造自然的重要手段和方法。模拟的理论基础是水流、泥沙运动基本规律。由于水流边界和泥沙种类的复杂性、多样性，迄今为止，对复杂条件下的水流、泥沙运动规律认识还很不足，直接挑战河床演变模拟的相似性和正确性，作为一个泥沙研究者深感任重而道远。

作者 1962 年毕业于武汉水利电力学院，从事泥沙研究近 40 年。华旦之年适逢多事之秋，年华虚度；晚年虽小有醒悟，但已是夕阳西下，一生碌碌无为，只有寥寥数十篇拙文，谨献于滋育我的这片润土。受水平所限，文中的观点、方法、立论和演绎错谬难免，敬请赐教。

本集是同仁协同作战的成果，其出版得到交通部天津水运工程科学研究所领导的关心和资助，谨深致谢意。

乐培九

2000 年 12 月

目 录

第一篇 泥沙运动及模拟

悬移质运动扩散方程的应用.....	(1)
平面二维悬移质运动扩散方程.....	(9)
非均匀沙悬移质的水流挟沙能力.....	(15)
波浪和潮流共同作用下的挟沙能力.....	(22)
推移质非饱和输沙问题.....	(28)
非均匀沙推移质输沙率及粗化问题.....	(35)
波流联合作用下的推移质输沙率.....	(41)
高含沙紊流的阻力及其输沙特性.....	(53)
沉沙池及引航道异重流运动及其淤积.....	(62)
浑水中泥沙沉降的初步研究.....	(67)
粘性泥沙絮凝沉速的初步探讨.....	(76)
冲积河流床沙级配调整的一种计算模式.....	(84)
泥沙模型的起动相似问题.....	(88)
海岸演变模型的相似问题.....	(93)
湘江关湘洲河段动床模型设计.....	(108)

第二篇 水流运动及阻力

波浪和潮流共同作用下平面二维水流运动基本方程.....	(116)
非恒定流垂线流速分布规律的初探.....	(122)
沙波阻力问题的研究.....	(129)
长江中下游阻力估算公式的选择.....	(135)
正方形梅花加糙的糙率和床面糙率高度的确定.....	(141)
丁坝回流阻力系数及回流长度.....	(148)
管流中环形孔板的阻力系数及消能.....	(156)

第三篇 河床演变及航道整治

三门峡水库控制运用对黄河下游河道冲淤的影响.....	(164)
黄河高含沙洪水对下游的影响.....	(176)
黄河下游纵剖面的调整.....	(188)

黄河北干流佳—土段河道特性初步分析	(195)
黄河山东河段洪水位估计方法	(203)
赣江万安水库上游河道特性分析	(209)
永定新河淤积机理探讨	(216)
伶仃洋滩槽演变及其发展趋势	(224)
天津港回淤问题的研究与进展	(234)
河口航道挖槽回淤的估算方法	(242)
冲积河流航道整治线宽度问题的研究	(251)
黄河北干流航道整治线宽度及整治水位的确定方法	(258)
黄河北干流佳—土段航道整治研究	(264)

第一篇 泥沙运动及模拟

悬移质运动扩散方程的应用*

摘要 从悬移质运动剖面二维扩散方程出发,通过适当假定,获得了饱和含沙量垂线分布公式、悬移质运动一维质量守恒方程和剖面二维实用型方程;重新定义了“ α 系数”,给出了理论计算公式,使数值模拟的理论基础和可操作性得到了强化。

在二度恒定均匀流条件下,悬移质运动扩散方程可以表达为

$$\frac{\partial s}{\partial t} = - \frac{\partial (us)}{\partial x} + \frac{\partial (\omega s)}{\partial y} + \frac{\partial}{\partial y} (\epsilon_s \frac{\partial s}{\partial y}) \quad (1)$$

式中 s 及 u 为垂线上任一点的含沙量及流速; ϵ_s 为垂向泥沙扩散系数; ω 为泥沙沉速。

1 饱和含沙量垂线分布

假定水流挟沙处于稳定平衡状态,其 $\frac{\partial s}{\partial t} = 0, \partial(us)/\partial x = 0$, 则式(1) 可简化为

$$\frac{\partial}{\partial y} (\omega s + \epsilon_s \frac{\partial s}{\partial y}) = 0$$

即

$$\omega s + \epsilon_s \frac{\partial s}{\partial y} = c$$

由于 $\partial s/\partial x = 0$, 即泥沙与外界无交换, $c \equiv 0$, 故得

$$\omega s^* + \epsilon_s \frac{\partial s^*}{\partial y} = 0 \quad (2)$$

* 原载《水道港口》,2000(3)。

式中 s^* 为垂线上任一点的平衡含沙量, 这里亦即饱和含沙量, 用上标 * 为标记。

为求解式(2) 常用方法是假定悬移质扩散系数 ϵ_s 与动量传递系数 ϵ 等价, 即

$$\epsilon_s = \epsilon$$

由动量传递理论可知:

$$\epsilon = l^2 \frac{du}{dy}$$

式中 l 为掺长; \bar{u} 为时均流速。

又

$$\begin{aligned} \frac{du}{dy} &= \sqrt{\frac{\tau}{\rho}} / l = \sqrt{\frac{\tau_0}{\rho}} (1 - \eta)^{1/2} / l \\ &= u_* (1 - \eta)^{1/2} / l \end{aligned}$$

式中 $u_* = \sqrt{\tau_0 / \rho}$, 为摩阻流速; τ 为水流剪应力, τ_0 为水流在河底的剪应力; ρ 为水流密度; $\eta = y/h$, 为相对水深, h 为水深。

于是

$$\epsilon_s = \epsilon = lu_* (1 - \eta)^{1/2} \quad (3)$$

掺长 l 的确定国内外有多种假定^[1], 按照勃兰特(Prandtl)假定

$$l = \kappa y (1 - \eta)^{1/2}$$

可以得到著名的劳斯(Rouse)公式, 即

$$\frac{s^*}{s_a^*} = \left(\frac{h/y - 1}{h/a - 1} \right)^{\frac{\omega}{\kappa}} \quad (4)$$

式中 s_a^* 为 $y = a$ 处的饱和含沙量; κ 为卡曼常数, 等于 0.4。

式(4)在水面 $s^* = 0$, 在河底 $s^* = \infty$, 不符合实际, 因此张瑞瑾建议采用王志德(译音)提出的掺长公式^[2], 即

$$l/h = 0.14 - 0.08(1 - \eta)^2 - 0.06(1 - \eta)^4 \quad (5)$$

所得含沙量垂线分布公式, 不仅形成较为复杂, 而且在河底仍为 ∞ 。

新近张红武提出如下掺长公式^[3]:

$$l = C_m h \eta^{1/2} \quad (6)$$

式中 $C_m = 0.15$ 。

式(6)与式(5)结果非常接近, 与尼古拉兹试验资料吻合良好, 且公式形式简单, 代入式(3), 得

$$\epsilon_s = C_m h u_* \eta^{1/2} (1 - \eta)^{1/2} \quad (7)$$

以式(7)代入式(2)得

$$\omega s^* + C_m u_* \eta^{1/2} (1 - \eta)^{1/2} \frac{ds^*}{d\eta} = 0$$

即

$$\frac{ds^*}{s^*} = - \frac{\omega}{C_m u_*} \frac{d\eta}{\eta^{1/2} (1-\eta)^{1/2}}$$

积分可得

$$\ln s^* = \frac{2\omega}{C_m u_*} \arcsin(1-\eta)^{1/2} + C$$

当 $\eta = 0$ 时, $s^* = s_b^*$

则

$$C = \ln s_b^* - \frac{\pi\omega}{C_m u_*}$$

于是

$$s^* = s_b^* \exp\left[\frac{\omega}{C_m u_*} (2\arcsin(1-\eta)^{1/2} - \pi)\right] \quad (8)$$

式(8)表明,在水面 $\eta = 1$ 时, $s^* \neq 0$, 只有在 $\frac{\omega}{C_m u_*}$ 很大时才接近于 0; 在河底 $\eta = 0$ 时, $s^* \neq \infty$, 而是一个有限值; 在其他区域, 若取式(4)中 $a = 0.05h$, 则式(8)与式(4)的相对含沙量 s^*/s_a^* 比较如表 1。由表可见: 二式在总体上一致, 在 $\eta = 0.4 \sim 0.5$ 区间二式结果接近相等, 在其下层式(8)的分布比式(4)要均匀, 在其上层式(4)的分布比式(8)要均匀, 细沙二式的差距较小, 粗沙二式差距较大。总体看式(8)优于式(4), 特别是在水面和河底较之为合理。

表 1 式(8)与式(4)计算的相对含沙量 s^*/s_a^* 沿垂线分布

$\frac{\omega}{ku_*}$	公式	η										
		0.05	0.1	0.2	0.3	0.4	0.5	0.6	0.7	0.8	0.9	1.0
0.05	(8)	1	0.97	0.94	0.91	0.88	0.86	0.84	0.82	0.79	0.76	0.70
	(4)	1	0.96	0.93	0.90	0.88	0.86	0.85	0.83	0.81	0.77	0
0.10	(8)	1	0.95	0.88	0.83	0.78	0.74	0.70	0.66	0.62	0.58	0.49
	(4)	1	0.93	0.86	0.81	0.78	0.74	0.72	0.68	0.65	0.60	0
0.25	(8)	1	0.88	0.73	0.63	0.54	0.47	0.41	0.35	0.30	0.26	0.17
	(4)	1	0.86	0.68	0.59	0.53	0.48	0.43	0.39	0.34	0.28	0
0.50	(8)	1	0.77	0.53	0.39	0.29	0.22	0.17	0.13	0.09	0.066	0.028
	(4)	1	0.69	0.46	0.35	0.28	0.23	0.19	0.15	0.12	0.076	0
1.00	(8)	1	0.60	0.28	0.16	0.083	0.049	0.028	0.016	0.008	0.004	0.0008
	(4)	1	0.47	0.21	0.12	0.079	0.053	0.035	0.023	0.013	0.006	0
2.00	(8)	1	0.36	0.079	0.023	0.008	0.003	0.0009	3×10^{-8}	8×10^{-5}	2×10^{-5}	6×10^{-7}
	(4)	1	0.22	0.044	0.015	0.006	0.003	0.001	5×10^{-4}	2×10^{-4}	3×10^{-5}	0

2 水流挟沙能力及底部含沙量 s_b^*

式(8)中含有未知数 s_b^* , 因而尚不能求出绝对含沙量值, 必须另寻途径来确定 s_b^* 。途径之一就是将 s_b^* 与水流挟沙能力联系起来。

所谓水流挟沙能力,系指一定的水流所能挟带一定(粗细)的泥沙,使之达到饱和的那个临界含沙量值,这里以 S_* 表示,若以流量加权平均含沙量表示,其数学含义为

$$S_* = \int_0^1 s^* u d\eta / U \quad (9)$$

式中 u 为垂线任一点流速, U 为垂线平均流速。

对于均匀流,若 u 的分布采用指数规律,即

$$u = (1 + m) U \eta^m \quad (10)$$

式中 m 通常取 $1/7$,以式(8)代入,则式(9)为

$$S_* = (1 + m) s_b^* \int_0^1 \eta^m e^{f(\eta)} d\eta \quad (11)$$

式中

$$f(\eta) = \frac{\omega}{C_m u_*} [2 \arcsin(1 - \eta)^{1/2} - \pi]$$

从物理意义上讲,水流挟沙能力是运动水流的单位水体所能挟带悬移质的数量,是水流运动要素、泥沙要素的函数。其函数关系可以通过输沙平衡时的试验资料的回归分析确定,也可以通过某些理论分析确定。由一种广为应用的能量平衡原理可得到如下关系式:

$$S_* = K f \frac{\gamma_s \gamma}{\gamma_s - \gamma} \frac{U^3}{g R \omega} \quad (12)$$

式中 K 为挟沙系数,由试验资料确定,根据黄河、长江等实测资料可定为 2.9×10^{-3} ^[4]; f 为阻力系数($f = 8(u_*/U)^2$); γ 及 γ_s 分别为水及泥沙的重率; R 为水力半径。

式(12)与式(11)等价,因而 s_b^* 可求,即

$$s_b^* = K f \frac{\gamma_s \gamma}{\gamma_s - \gamma} \frac{U^3}{g R \omega} / (1 + m) \int_0^1 \eta^m e^{f(\eta)} d\eta \quad (13)$$

3 悬移质运动一维质量守恒方程

对式(1)沿水深积分可得一维质量守恒方程,在积分过程中,若采用传统的边界条件,即:

(1) 水面无泥沙交换,即 $y = h$ 时

$$\omega s + \epsilon_s \frac{\partial s}{\partial y} = 0 \quad (14)$$

(2) 河底泥沙扩散量为定值,即 $y = 0$ 时

$$\epsilon_s \frac{\partial s}{\partial y} = -\omega s_b^* \quad (15)$$

则式(1)的积分即为

$$\frac{\partial \bar{s}_h}{\partial t} + \frac{\partial (\bar{U} \bar{s})}{\partial x} = -\alpha \omega \bar{s} / h + \alpha_* \omega S_* / h$$

式中 \bar{s}_h 为体积加权平均含沙量; \bar{s} 为流量加权平均含沙量; α 及 α_* 为底部含沙量与垂线平均含沙量之比,习惯称谓含沙量恢复饱和系数,即

$$\left. \begin{aligned} \alpha &= s_b / \bar{s} \\ \alpha_* &= s_b^* / S_* \end{aligned} \right\} \quad (16)$$

假定 $\partial \bar{s}_h / \partial t \approx \partial \bar{s} / \partial t$; $\alpha = \alpha_*$, 最终可得

$$\frac{\partial S}{\partial t} + \frac{\partial (US)}{\partial x} = - \frac{\alpha \omega}{h} (S - S_*) \quad (17)$$

式中

$$S = \bar{s}$$

式(17)即为常见的一维悬移质运动质量守恒方程。

在挟沙水流中,悬浮泥沙在重力作用下不断下沉,其单位时间穿过单位截面下沉的泥沙数量为 ωs ;在紊动扩散作用下,由于含沙量上稀下浓的梯度存在,高浓度区域的泥沙要不断向低浓度区域扩散,单位时间穿过单位截面上升的泥沙数量为 $-\epsilon_s \frac{\partial s}{\partial y}$ ($\frac{\partial s}{\partial y}$ 为负值)。当上升和下沉的泥沙数量相等,即所谓平衡时,水体中的泥沙浓度和含沙量分布梯度均恒定不变,此时水体中的含沙量称为饱和含沙量(s^*)。

当上升和下沉的泥沙数量不相等,即所谓不平衡输沙时,水体中泥沙浓度及含沙量分布梯度($\frac{\partial s}{\partial y}$)都在不断变化。过饱和时, $|\frac{\partial s}{\partial y}| < |\frac{\partial s^*}{\partial y}|$ (饱和梯度), 下降的泥沙数量大于上升的泥沙数量, 水体中泥沙浓度不断减小, $|\frac{\partial s}{\partial y}|$ 由小于 $|\frac{\partial s^*}{\partial y}|$ 而趋于 $|\frac{\partial s^*}{\partial y}|$, 即向饱和转化; 次饱和时, 上升的泥沙数量大于下降的泥沙数量, 水体中泥沙浓度不断增大(河床可冲时), $|\frac{\partial s}{\partial y}|$ 由大于 $|\frac{\partial s^*}{\partial y}|$ 而趋于 $|\frac{\partial s^*}{\partial y}|$, 也向饱和转化。

在不平衡输沙条件下,水体中任一空间的含沙量及其分布梯度都在变化着,水面($\eta = 1$)及河底($\eta = 0$)也不例外,因而式(14)及式(15)均不能成立。

人们常常用更简明的方法,如图1(a)所示,直接写出下列沙量平衡方程:

$$\frac{\partial S}{\partial t} = - \frac{\partial (US)}{\partial x} + [(\epsilon_s \frac{\partial s}{\partial y})_{y=0} - \omega s_{y=0}] / h \quad (A)$$

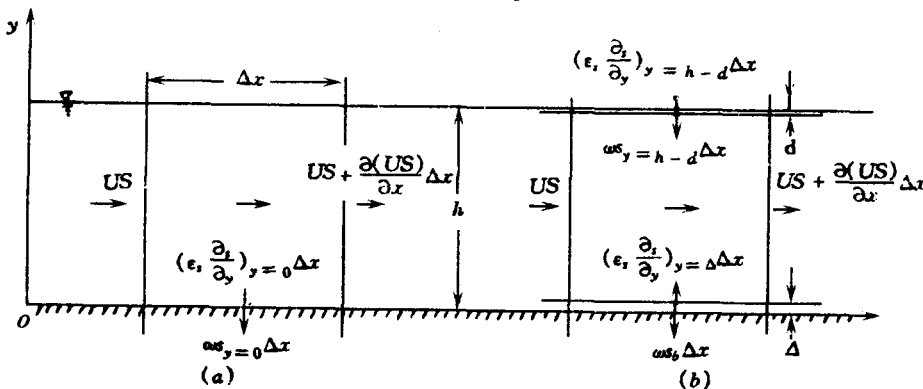


图1 二度恒定流沙量平衡示意

图中直接显示水面无泥沙交换,即以式(14)为上边界条件,若以式(15)为下边界条件,式(A)即是式(17)。

实际上,在 $y = 0$ 处, $\epsilon_s = 0$, 无紊动扩散; 在 $y = h$ 处, 空气与水之间也无泥沙交换,因此

以水面和床面作上、下边界均无实际意义,如将上边界下移一个泥沙粒径 d 的高度,下边界上移一个推移层厚度 Δ ,如图 1(b) 所示,则上、下界面都有泥沙进出,沙量平衡方程就应是

$$\frac{\partial S}{\partial t} = -\frac{\partial(US)}{\partial x} - [(\epsilon_s \frac{\partial s}{\partial y})_{y=h-d} - (\epsilon_s \frac{\partial s}{\partial y})_{y=\Delta}] / h + \omega(s_{y=h-d} - s_b) / h \quad (B)$$

式中 $s_{y=h-d}$ 实际就是水面含沙量 s_0 ; s_b 是河床底部悬移层和推移层界面处的悬移质含沙量。式(B)就是式(1)的沿水深积分。

不论输沙平衡与否,垂线含沙量分布的总趋势是一致的,总是上稀下浓,因而可以假定非饱和含沙量梯度与饱和含沙量梯度成比例,即

$$\begin{aligned} \frac{\partial s}{\partial y} &= \beta \frac{\partial s^*}{\partial y} \\ \epsilon_s \frac{\partial s}{\partial y} &= \beta \epsilon_s \frac{\partial s^*}{\partial y} \end{aligned} \quad (18)$$

式中 β 为比例系数,可以理解为含沙量饱和程度的判别数,过饱和时 $\beta < 1$,次饱和时 $\beta > 1$,饱和时 $\beta = 1$,愈远离饱和 β 愈远离 1。

以式(18)及式(12)代入式(1),假定 β 沿水深为常数,由于 $d + \Delta$ 与 h 相比可以忽略,则式(1)沿水深积分可得

$$\frac{\partial S}{\partial t} + \frac{\partial(US)}{\partial x} = -\alpha \omega S / h + \beta \alpha_* \omega S_* / h \quad (19)$$

此即式(B),式中 α 及 α_* 在这里与式(16)不再相同,由积分上、下限可得:

$$\begin{aligned} \alpha &= (s_b - s_0) / S \\ \alpha_* &= (s_b^* - s_0^*) / S_* \end{aligned}$$

式中 s_0 及 s_0^* 为含沙量及饱和含沙量在水面值,以式(8)及式(11)代入,可得:

$$\alpha_* = \frac{7}{8} (1 - e^{-\kappa \omega / C_m u_*}) / \int_0^1 \eta^{1/7} e^{f(\eta)} d\eta \quad (20)$$

令

$$k = \beta \alpha_* / \alpha$$

则式(19)即为

$$\frac{\partial S}{\partial t} + \frac{\partial(US)}{\partial x} = -\frac{\alpha \omega}{h} (S - k S_*) \quad (21)$$

综合系数 k 是个接近于 1 的数,次饱和时 $\beta > 1$, $\alpha > \alpha_*$,且 β 愈大 α 必愈大,故 $\beta \alpha_* / \alpha \approx 1$;过饱和时 $\beta < 1$, $\alpha < \alpha_*$,且 β 愈小 α 也愈小,故 $\beta \alpha_* / \alpha \approx 1$ 。实践经验表明,冲刷计算时 k 可取 $0.8 \sim 1.0$,淤积计算时 k 可取 $1.2 \sim 1.0$ 。由于式(21)中系数 k 的影响,以往人们以此理解为冲刷时挟沙能力小,淤积时挟沙能力大,显然这是一种误解。

系数 α 是个与含沙量饱和状态与程度有关的数,不易确定,但一般与 α_* 相去不是很远,可先用式(20)进行估算,而后再由实测资料进行确定。

由式(20)计算出 α_* 与 $\omega / \kappa u_*$ 的关系如图 2,图

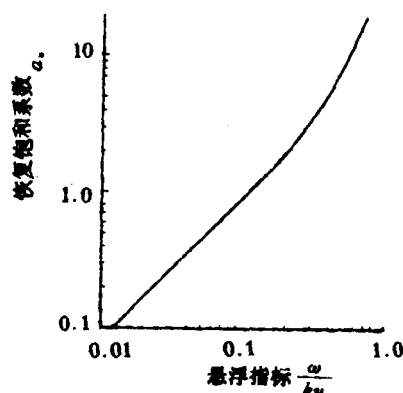


图 2 α_* 与 $\frac{\omega}{\kappa u_*}$ 关系

中曲线当 $\omega/\kappa u_* < 0.15$ 时, 可由下式表示:

$$\alpha_* = 10 \left(\frac{\omega}{\kappa u_*} \right)^{1.04} \quad (22)$$

图 2 及式(22)表明, 当 $\omega/\kappa u_* \leq 0.11$ 时, $\alpha_* \leq 1.0$, 而式(16)中的 α_* 是个恒大于 1 的数。若取 $u_* = 5 \text{ cm/s}$, 由式(22)可求得 α_* 与粒径 d 的关系如表 2。

表 2 α_* 与 d 的关系 ($u_* = 5 \text{ cm/s}$)

$d(\text{mm})$	0.07	0.06	0.05	0.04	0.03	0.02	0.01
α_*	1.24	0.90	0.62	0.39	0.21	0.09	0.02

我国长江、黄河及汉江等细沙河流在中水期 u_* 多在 5 cm/s 左右, 在河床变形的数值模拟中, 根据经验通常在淤积计算时取 $\alpha = 0.25 \sim 0.50$, 冲刷计算时取 $\alpha = 0.75 \sim 1.0$ 。由于天然河流中的悬移质是非均匀沙, α_* 应是不同粒径的加权, 淤积时悬沙较细, 且 $\alpha < \alpha_*$, 故 α 较小, 冲刷时有床沙加盟, 悬沙较粗, 且 $\alpha > \alpha_*$, 故 α 较大。可见理论计算与实际经验是一致的, 这就澄清了长期对 α 系数的疑惑不解, 使 α 系数有了可操作性, 可提高数值模拟的精确性。

4 剖面二维质量守恒方程的应用型

式(1)为剖面二维质量守恒方程的基本形式, 如采用式(18)的假定, 并利用式(2), 即

$$\epsilon_s \frac{\partial s}{\partial y} = \beta \epsilon_s \frac{\partial s^*}{\partial y} = -\beta \omega s^*$$

可得

$$\frac{\partial s}{\partial t} + \frac{\partial (us)}{\partial x} = \omega \frac{\partial}{\partial y} (s - \beta s^*) \quad (23)$$

式中

$$\beta = \frac{\partial s}{\partial y} / \frac{\partial s^*}{\partial y} \approx \left(\frac{\Delta s}{\Delta s^*} \right)_y$$

$$s^* = \frac{7}{8} S_* e^{f(\eta)} / \int_0^1 \eta^{1/7} e^{f(\eta)} d\eta$$

$$S_* = Kf \frac{\gamma_s \gamma}{\gamma_s - \gamma} \frac{U^3}{g R \omega}$$

$$f(\eta) = \frac{\omega}{C_m u_*} [2 \arcsin(1 - \eta)^{1/2} - \pi]$$

当河段进口 $x = x_0$ 处垂线含沙量分布及流速分布已知时, 式(23)便可进行数值解。剖面二维不仅可以得到剖面含沙量场, 更重要的是当垂线流速分布不服从对数规律时, 可得到更为精确的河段进出沙量和河床冲淤量。

5 小结

基于剖面二维悬移质运动扩散方程, 采用较符合实际的假定, 获得下列实用型方程:

(1) 在恒定均匀流的输沙平衡条件下, 引入张红武的掺长假定, 可以获得计算简便的含沙

量垂线分布公式(8),该式总体上与劳斯公式计算结果相近,但在水面 $s_0 \neq 0$,在河底 $s_b \neq \infty$,概念上比劳斯公式合理,更具有适用价值。

(2) 根据饱和含沙量与水流挟沙能力概念的统一,可以得到饱和含沙量的底部含沙量公式(13)。

(3) 在不平衡输沙条件下,对剖面二维方程沿水深积分得到一维悬移质运动质量守恒方程。前人所采用的积分上、下边界条件有误,导致方程中 α 系数与实际不符和对水流挟沙能力的误解,本文所得的方程(21)能使理论和实际相统一,可提高计算的可操作性。

(4) 给出了含沙量恢复饱和系数 α_s 的理论计算公式(20),与计算经验相吻合。

(5) 给出了剖面二维悬移质运动质量守恒方程的实用型方程(23),易于操作。

参 考 文 献

- [1] 倪晋仁等.固液两相流基本理论及其最新应用.北京:科学出版社,1991
- [2] 张瑞瑾.河流泥沙动力学(第二版).北京:水利电力出版社,1998
- [3] 张红武.河工模型变率及弯道环流的研究.见:黄河水利委员会水利科学研究所《科学研究论文集》(第一集).郑州:河南科学技术出版社,1989
- [4] 窦国仁等.潮流和波浪的挟沙能力.科学通报.1995,40(5):443 ~ 446

平面二维悬移质运动扩散方程^{*}

平面二维悬移质扩散方程是河床变形计算的基本方程之一，在二维泥沙数值模拟中已得到广泛应用。目前流行的方程有的由一维泥沙连续方程扩展而得；有的由微小底面积柱体元的沙量平衡而得；也有的由三维泥沙扩散方程沿水深积分而得。由后者所得方程，其各物理量概念清晰。工程界常用的平均含沙量有体积加权（积深法）和流量加权（输沙率法）两种，这两种含沙量所表示的平面二维方程有何差别，可通过方程的演绎予以说明。

众所周知，三维泥沙运动扩散方程为

$$\begin{aligned}\frac{\partial s}{\partial t} = & \frac{\partial}{\partial x}(\epsilon_{xx} \frac{\partial s}{\partial x}) + \frac{\partial}{\partial y}(\epsilon_{yy} \frac{\partial s}{\partial y}) + \frac{\partial}{\partial z}(\epsilon_{zz} \frac{\partial s}{\partial z}) - \\ & \left[\frac{\partial}{\partial x}(us) + \frac{\partial}{\partial y}(vs) + \frac{\partial}{\partial z}(ws) \right] + \frac{\partial}{\partial z}(\omega s)\end{aligned}\quad (1)$$

式中 s 为空间任一点的时均含沙量； u, v, w 和 $\epsilon_{xx}, \epsilon_{yy}, \epsilon_{zz}$ 分别为 x, y, z 方向上的空间任一点的时均流速和泥沙扩散系数； ω 为泥沙沉降速度。

1 平均含沙量以体积加权方式表示

对式(1)沿水深积分，即从河底（接近床面而又非床面的推移层上界面） z_b 积到水面 ζ 。式中各项积分（应用莱布尼兹法则）分别为：

(1) 第①项

$$\int_{z_b}^{\zeta} \frac{\partial s}{\partial t} dz = \frac{\partial}{\partial t}(Sh) - s \left| \zeta \frac{\partial \zeta}{\partial t} + s \right|_{z_b} \frac{\partial z b}{\partial t}$$

式中 h 为水深， S 为积深（体积加权）平均含沙量即

$$S = \frac{1}{h} \int_{z_b}^{\zeta} s dz \quad (2)$$

(2) 第②和③项为：

$$\int_{z_b}^{\zeta} \frac{\partial}{\partial x}(\epsilon_{xx} \frac{\partial s}{\partial x}) dz \approx \frac{\partial}{\partial x} \int_{z_b}^{\zeta} \epsilon_{xx} \frac{\partial s}{\partial x} dz$$

$$\int_{z_b}^{\zeta} \frac{\partial}{\partial y}(\epsilon_{yy} \frac{\partial s}{\partial y}) dz \approx \frac{\partial}{\partial y} \int_{z_b}^{\zeta} \epsilon_{yy} \frac{\partial s}{\partial y} dz$$

(3) 在进行第④项各分时，假定非饱和含沙量垂线梯度与饱和含沙量垂线梯度成比例，利用平衡状态时泥沙连续方程可得^[1]

$$\int_{z_b}^{\zeta} \frac{\partial}{\partial z}(\epsilon_{zz} \frac{\partial s}{\partial z}) dz = \int_{z_b}^{\zeta} \frac{\partial}{\partial z}(\beta \epsilon_{zz} \frac{\partial s^*}{\partial z}) dz = -\beta(\omega s^*) \Big|_{z_b}^{\zeta} = \beta \alpha_* S.$$

式中 β 为比例系数； s^* 为垂线上任一点饱和含沙量； S_* 为饱和含沙量的体积加权平均值，

* 本文撰写于 1999 年，未发表。

即水流挟沙能力(以体积加权方式表示); α_* 为饱和含沙量垂线分布不均匀系数, 即

$$\alpha_* = (s_{z_b}^* - s_\zeta^*)/S_*$$

若垂线含沙量分布取用下式^[1]

$$s^* = s_{z_b}^* \exp\left\{\frac{8}{3} z_* [2\arcsin(1-\eta)^{1/2} - \pi]\right\} \quad (4)$$

$$z_* = \frac{\omega}{\kappa u_*}$$

式中 κ 为卡曼常数; u_* 为摩阻流速。

则

$$\alpha_* = [\exp(\frac{8}{3}\pi z_*) - 1] / \int_0^1 f(\eta) d\eta \quad (5)$$

$$f(\eta) = \exp\left[\frac{16}{3}z_* \arcsin(1-\eta)^{1/2}\right] \quad (6)$$

(4) 第⑤和第⑥项积分

令

$$\begin{aligned} u(v) &= U(V) + U'(V') \\ s &= S + S' \end{aligned}$$

式中 $U(V)$ 为纵(横)向垂线平均流速, $U'(V')$ 为平均流速对点流速 $u(v)$ 的偏离; S' 为平均含沙量 S 对点含沙量 s 的偏离。

考虑到

$$\int_{z_b}^{\zeta} U' dz = \int_{z_b}^{\zeta} V' dz = \int_{z_b}^{\zeta} S' dz = 0$$

于是

$$\begin{aligned} \int_{z_b}^{\zeta} \frac{\partial}{\partial x} (us) dz &= \frac{\partial}{\partial x} (US h) + \frac{\partial}{\partial x} \int_{z_b}^{\zeta} U'S' dz - (us) \Big|_{\zeta} \frac{\partial \zeta}{\partial x} + (us) \Big|_{z_b} \frac{\partial z_b}{\partial x} \\ \int_{z_b}^{\zeta} \frac{\partial}{\partial y} (vs) dz &= \frac{\partial}{\partial y} (VS h) + \frac{\partial}{\partial y} \int_{z_b}^{\zeta} V'S' dz - (vs) \Big|_{\zeta} \frac{\partial \zeta}{\partial y} + (vs) \Big|_{z_b} \frac{\partial z_b}{\partial y} \end{aligned}$$

(5) 第⑦和第⑧项积分为

$$\begin{aligned} \int_{z_b}^{\zeta} \frac{\partial}{\partial z} (ws) dz &= (ws) \Big|_{z_b}^{\zeta} \\ \int_{z_b}^{\zeta} \frac{\partial}{\partial z} (\omega s) dz &= (\omega s) \Big|_{z_b}^{\zeta} = -\alpha \omega S \end{aligned}$$

式中

$$\alpha = (s_{z_b} - s_\zeta)/S$$

(6) 考虑到水面 ζ 及床面 z_b 微元体的质量守恒(水流连续)应有:

$$\frac{\partial \zeta}{\partial t} + u \Big|_{\zeta} \frac{\partial \zeta}{\partial x} + v \Big|_{\zeta} \frac{\partial \zeta}{\partial y} = w \Big|_{\zeta}$$

$$\frac{\partial z_b}{\partial t} + u \Big|_{z_b} \frac{\partial z_b}{\partial x} + v \Big|_{z_b} \frac{\partial z_b}{\partial y} = w \Big|_{z_b}$$

(7) 在第⑤和第⑥项积分中出现了 $U'S'$ 和 $V'S'$ 项。根据泰勒假定^[2], 令

$$E_{sx} \frac{\partial s}{\partial x} = - U' S' + \epsilon_{sx} \frac{\partial s}{\partial x}$$

$$E_{sy} \frac{\partial s}{\partial y} = - V' S' + \epsilon_{sy} \frac{\partial s}{\partial y}$$

式中 E_{sx} 和 E_{sy} 称为纵向和横向离散系数, 是流速分布不均性的函数, 远比紊动扩散系数 ϵ_{sx} 和 ϵ_{sy} 为大。

假定 E_{sx} 和 (E_{sy}) 不是 z 的函数, 则

$$\begin{aligned} - \int_{Z_b}^{\zeta} U' S' dz + \int_{Z_b}^{\zeta} \epsilon_{sx} \frac{\partial s}{\partial x} dz &= \int_{Z_b}^{\zeta} E_{sx} \frac{\partial s}{\partial x} dz \approx E_{sx} \frac{\partial}{\partial x} (Sh) \\ - \int_{Z_b}^{\zeta} V' S' dz + \int_{Z_b}^{\zeta} \epsilon_{sy} \frac{\partial s}{\partial y} dz &\approx E_{sy} \frac{\partial}{\partial y} (Sh) \end{aligned}$$

根据以上第(1)~第(7)条的解析, 可得含沙量以体积加权方式表示的平面二维扩散方程为

$$\begin{aligned} \frac{\partial}{\partial t} (Sh) + \frac{\partial}{\partial x} (U Sh) + \frac{\partial}{\partial y} (V Sh) + \alpha \omega (S - k S_s) \\ = \frac{\partial}{\partial x} [E_{sx} \frac{\partial}{\partial x} (Sh)] + \frac{\partial}{\partial y} [E_{sy} \frac{\partial}{\partial y} (Sh)] \end{aligned} \quad (7)$$

式中

$$k = \beta \alpha_s / \alpha \quad (8)$$

2 平均含沙量以流量加权方式表示

以流量加权方式表示的含沙量为

$$\left. \begin{aligned} S_q &= \frac{1}{q_x} \int_{Z_b}^{\zeta} us dz = S + \frac{1}{q_x} \int_{Z_b}^{\zeta} U' S' dz \\ &= \frac{1}{q_y} \int_{Z_b}^{\zeta} vx dz = S + \frac{1}{q_y} \int_{Z_b}^{\zeta} V' S' dz \end{aligned} \right\} \quad (9)$$

式中

$$q_x = Uh; q_y = Vh$$

对式(1)沿水深积分, 各项分别为:

(1) 在第①项积分中

$$\frac{\partial}{\partial t} (Sh) \approx \frac{\partial}{\partial t} (S_q h) + \frac{\partial}{\partial t} \left[\frac{E_{sx} - \epsilon_{sx}}{U} \frac{\partial}{\partial x} (Sh) \right]$$

(2) 同样假定 ϵ_{sx} 、 ϵ_{sy} 的不是 z 的函数, 则第②和第③项的积分为:

$$\int_{Z_b}^{\zeta} \frac{\partial}{\partial x} (\epsilon_{sx} \frac{\partial s}{\partial x}) dz \approx \frac{\partial}{\partial x} \left[\epsilon_{sx} \frac{\partial}{\partial x} (S_q h) \right] + \frac{\partial}{\partial x} \left\{ \epsilon_{sx} \frac{\partial}{\partial x} \left[\frac{E_{sx} - \epsilon_{sx}}{U} \frac{\partial}{\partial x} (Sh) \right] \right\}$$

$$\int_{Z_b}^{\zeta} \frac{\partial}{\partial y} (\epsilon_{sy} \frac{\partial s}{\partial y}) dz \approx \frac{\partial}{\partial y} \left[\epsilon_{sy} \frac{\partial}{\partial y} (S_q h) \right] + \frac{\partial}{\partial y} \left\{ \epsilon_{sy} \frac{\partial}{\partial y} \left[\frac{E_{sy} - \epsilon_{sy}}{V} \frac{\partial}{\partial y} (Sh) \right] \right\}$$

(3) 第④项积分